

Optimization of Nitrogen, Phosphorus, and Farmyard Manure Fertilizers Application Rates in Fodder Maize Production by Response Surface Methodology

A. Nokhbe Zaeim¹, M. Jahan^{2*}, A. Beheshti³

- 1- Ph.D. Student of Agroecology, Department of Agrotechnology, Faculty of Agriculture, Ferdowsi University of Mashhad, Mashhad, Iran
2- Professor, Department of Agrotechnology, Faculty of Agriculture, Ferdowsi University of Mashhad, Mashhad, Iran
3- Associate Professor, Agricultural and Natural Resources Research and Education Center of Khorasan-e Razavi, Agricultural- Research-Education & Extension Organization (AREEO), Mashhad, Iran
(*- Corresponding Author Email: jahan@ferdowsi.um.ac.ir)

Received: 14 June 2023
Revised: 24 July 2023
Accepted: 05 August 2023

How to cite this article:

Nokhbe Zaeim, A., Jahan, M., & Beheshti, A. (2024). Optimization of Nitrogen, Phosphor, and Farmyard Manure Fertilizer Application in Fodder Maize Production by Response Surface Methodology. *Iranian Journal of Field Crops Research*, 21(4), 485-500. (in Persian with English abstract). <https://doi.org/10.22067/jcsc.2023.82946.1254>

Introduction

The excessive use of chemical fertilizers is a leading cause of environmental pollution in the agriculture sector. Therefore, optimizing fertilizer application is a crucial approach to boost production while minimizing environmental harm. On the other hand, application of chemical fertilizers along with manure can be considered as the proper management system that led to reduce the amount of chemical fertilizers and adverse effects on environment and also improve nutrition for plants. Response-surface methodology is a powerful tool to optimize production resources which decreases cost and time of the experiments by reducing number of them. Therefore, the aim of the study was optimization of chemical fertilizers of nitrogen and phosphorus along with manure application in fodder maize production.

Materials and Methods

The field experiment was carried out according to box-benkhen design in Savojbelagh, where located in the west of Alborz province, over two years 2017 and 2018. The fifteen treatments were selected based on low and high levels of nitrogen (0 and 300 kg.ha⁻¹), phosphorus (0 and 150 kg.ha⁻¹), and manure (0 and 40 ton.ha⁻¹). Three replications were considered in central points under box-benkhen design. The experiment was performed in two replications. Fodder yield, dry matter, nitrogen losses, and nitrogen use efficiency were the measured traits in the study. Stepwise regression model by fitting a full quadratic function were used to predict response variables. Treatments were optimized based on three scenarios: economic, environmental, and eco-environmental. Fodder yield, nitrogen losses, and nitrogen use efficiency were the primary factors used to determine the treatments in each respective scenario. In final, the optimum levels of treatments as independent variables were suggested to obtain target amounts of traits as dependent variables in each scenario. All analysis was performed using Minitab ver.16.

Results and Discussion



©2024 The author(s). This is an open access article distributed under [Creative Commons Attribution 4.0 International License \(CC BY 4.0\)](https://creativecommons.org/licenses/by/4.0/), which permits use, sharing, adaptation, distribution and reproduction in any medium or format, as long as you give appropriate credit to the original author(s) and the source.

<https://doi.org/10.22067/jcsc.2023.82946.1254>

The results of regression analysis showed that the model had adequate accuracy to predict the studied properties (as dependent variables) based on experimental treatments (as independent variables). The calculated values of NRMSE illustrated that the model predicted data of dry matter, fodder yield, nitrogen losses, and nitrogen use efficiency with difference as 5.4, 2.3, 6.1, and 17.4 percent from measured data, respectively. Fodder yield was raised by increasing nitrogen fertilizer under all levels of phosphorus and manure. Increase slope of fodder yield by increasing nitrogen fertilizer amount under high levels of phosphor and manure was more than in low levels. The highest nitrogen loss was gained by application of 300 kg N.ha⁻¹ along with no application of manure under nitrogen fertilizer × manure interaction. As findings, increasing the amount of nitrogen fertilizer caused to increase nitrogen losses and decrease in nitrogen use efficiency. Application of 242.42 kg N.ha⁻¹ and 95.45 kg P.ha⁻¹ along with 33.13 t manure.ha⁻¹ was suggested under economic scenario that led to produce 105 t fodder.ha⁻¹ with nitrogen losses of 150 kg.ha⁻¹. In environmental scenario, no application of nitrogen and using 146.9 kg P.ha⁻¹ with 21.82 t manure. ha⁻¹ was proposed to gain 80.94 t fodder and 51.2 kg. ha⁻¹ as nitrogen losses and 103.03 kg fodder.kg⁻¹ N as nitrogen use efficiency. Under eco-environmental scenario that had priority in comparison with two other scenarios due to considering economical and environmental issues simultaneously; applying 78.79 kg N.ha⁻¹, 150 kg P.ha⁻¹ and 8.48 t manure.ha⁻¹ was suggested as optimum levels of treatments that led to obtain 90.87 t fodder.ha⁻¹, 64.75 kg N losses.ha⁻¹ and the highest value of nitrogen use efficiency as 116.4 kg fodder.ha⁻¹ N.

Conclusion

Considering the results, applying 78.79 kg N.ha⁻¹, 150 kg P.ha⁻¹ and 8.48 t manure.ha⁻¹ in eco-environmental scenario was suggested as optimum levels of treatments.

Keywords: Chemical fertilizers, Environmental scenario, Nitrogen losses, Optimum values

بهینه‌سازی مصرف کودهای نیتروژن، فسفر و دامی در تولید ذرت علوفه‌ای با استفاده از روش سطح - پاسخ

عبدالرضا نخبه زعیماً^۱، محسن جهان^{۲*}، علیرضا بهشتی^۳

تاریخ دریافت: ۱۴۰۲/۰۳/۲۴

تاریخ پذیرش: ۱۴۰۲/۰۵/۱۴

چکیده

استفاده بهینه از نهاده‌های شیمیایی یکی از راهکارهای اساسی به منظور حفظ میزان تولید و کاهش آلودگی‌های زیست محیطی است. در همین راستا، هدف از این پژوهش بهینه‌سازی مصرف کودهای نیتروژن و فسفر به همراه کود دامی در تولید ذرت علوفه‌ای می‌باشد. برای این منظور آزمایشی در قالب طرح باکس-بنکن طراحی طی دو سال زراعی ۹۶-۱۳۹۵ و ۹۷-۱۳۹۶ در مزرعه‌ای در شهرستان ساوجبلاغ استان البرز به اجرا درآمد. عامل‌های آزمایشی بر اساس سطوح بالا و پایین تیمارها انتخاب و در مجموع ۱۵ ترکیب تیماری (کود نیتروژن از صفر تا ۳۰۰ کیلوگرم در هکتار؛ کود فسفر از صفر تا ۱۵۰ کیلوگرم در هکتار و کود دامی از صفر تا ۴۰ تن در هکتار) مورد مقایسه قرار گرفتند. در این مطالعه از مدل رگرسیونی درجه دو برای برآورد مقادیر متغیرهای پاسخ استفاده شد. نتایج ارزیابی مدل رگرسیونی نشان داد که مدل از دقت کافی برای پیش‌بینی صفات مورد بررسی برخوردار بود. مقادیر تیمارها بر اساس سه سناریوی اقتصادی، زیست‌محیطی و اقتصادی-زیست‌محیطی که به ترتیب صفات عملکرد علوفه، تلفات نیتروژن و کارایی زراعی مصرف نیتروژن، عامل اصلی تعیین‌کننده تیمارها در هر سناریو بودند، بهینه‌سازی شدند. در سناریوی اقتصادی-زیست‌محیطی که به دلیل مدنظر قرار دادن هم‌زمان مسائل اقتصادی و زیست‌محیطی نسبت به دو سناریوی دیگر اولویت داشت؛ مصرف ۷۸/۷۹ کیلوگرم نیتروژن در هکتار، ۱۵۰ کیلوگرم فسفر در هکتار و ۸/۴۸ تن در هکتار کود دامی به‌عنوان مناسب‌ترین سطوح کود نیتروژن، فسفر و دامی در این آزمایش شناخته شد که تولید ۹۰/۸۷ تن علوفه تر در هکتار با تلفات نیتروژنی برابر با ۶۴/۷۵ کیلوگرم در هکتار و بالاترین کارایی زراعی مصرف نیتروژن معادل ۱۱۶/۴ کیلوگرم علوفه به‌ازای کیلوگرم نیتروژن را به همراه داشت. به نظر می‌رسد که مصرف توأم کودهای شیمیایی و آلی براساس مقادیر پیشنهادشده در سناریوی اقتصادی-زیست‌محیطی تحقیق حاضر را می‌توان به‌عنوان مقادیر بهینه تیمارهای کودی جهت تولید پایدار ذرت علوفه‌ای برای محل اجرای آزمایش در نظر گرفت.

واژه‌های کلیدی: تلفات نیتروژن، سناریوی زیست‌محیطی، کودهای شیمیایی، مقادیر بهینه

مقدمه

2004). مصرف کودهای شیمیایی از سال ۲۰۰۵ تا سال ۲۰۲۰ در جهان از ۱۵۵/۲۸ میلیون تن به ۱۹۷/۹۳ میلیون تن (افزایش ۲۷/۴۷ درصد در پانزده سال) افزایش نشان داده است که بیشترین افزایش مصرف مربوط به کود نیتروژن بوده است که در این دوره زمانی از ۹۰/۱۳ میلیون تن به ۱۱۰/۵۴ میلیون تن رسیده است. مصرف کودهای فسفر نیز در این دوره زمانی از ۳۷/۸۹ میلیون تن به ۴۸/۳۶ میلیون تن رسیده است. در کشور ایران مصرف کودهای شیمیایی نیتروژن و فسفر در سال ۲۰۲۰ به ترتیب ۹۰۳ و ۱۰۹ هزار تن گزارش شده است (FAO, 2022). آلودگی‌ها و پی‌آمدهای ناشی از مصرف گسترده‌ی نهاده‌های شیمیایی سبب تغییر نگرش در زمینه تولید غذا شده است. یکی از مهم‌ترین این نگرش‌ها، تولید غذای کافی در کنار توجه به ابعاد اجتماعی، اقتصادی، زیست‌محیطی است. بیش از ۵۰ درصد نیتروژن مصرف‌شده می‌تواند از سیستم‌های کشاورزی به شکل‌های مختلف نیتروژن گازی و انواع ترکیبات نیتروژنی فعال

افزایش چشمگیر عملکرد گیاهان زراعی در طی چند دهه گذشته تا حد زیادی مرهون استفاده زیاد از کودهای شیمیایی بوده است. در چند دهه اخیر، مصرف کودهای شیمیایی بدون توجه به تأثیر آن‌ها بر خصوصیات خاک و محیط‌زیست، گسترش غیرقابل انکاری داشته است (Jafari Malekabadi, Afyuni, Mousavi, & Khosravi,)

- ۱- دانشجوی دکترای اگرواکولوژی، گروه اگروتکنولوژی، دانشکده کشاورزی، دانشگاه فردوسی مشهد، مشهد، ایران
 - ۲- استاد، گروه اگروتکنولوژی، دانشکده کشاورزی، دانشگاه فردوسی مشهد، مشهد، ایران
 - ۳- دانشیار پژوهشی، مرکز تحقیقات کشاورزی و منابع طبیعی خراسان رضوی، سازمان تحقیقات آموزش و ترویج کشاورزی، مشهد، ایران
- (*نویسنده مسئول: jahan@ferdowsi.um.ac.ir)
<https://doi.org/10.22067/jcesc.2023.82946.1254>

نیترژن در ذرت (*Zea mays L.*) نشان داد که با افزایش کود نیترژن تا ۱۶۸ کیلوگرم در هکتار عملکرد ذرت افزایش می‌یابد و مصرف این مقدار نیترژن را به‌عنوان سطح مطلوب مصرف گزارش کردند (Torbert, Potter, & Morrison, 2001). آزمایش‌های انجام‌شده طی سال‌های گذشته بیشتر با هدف بررسی اثرات افزایش مصرف نیترژن بر عملکرد گیاهان مختلف بوده و تأکید اندکی بر تعیین میزان تلفات محیطی از جمله تلفات نیترژن داشته است (Greer & Pittelkow, 2018)، در حالی که در حال حاضر، بیشتر بر بهینه‌سازی و کاهش مصرف نیترژن با رویکرد حفظ عملکرد گیاه به همراه کاهش تلفات و خسارات زیست محیطی تأکید می‌شود (Alexandratos & Bruinsma, 2012; Gastal & Lemaire, 2002). در این راستا زو و باتریج-باهل (Zhou & Butterbach-Bahl, 2014) میزان بهینه مصرف کود نیترژن به منظور به حداقل رساندن تلفات نیترژن در تولید ذرت را ۱۷۸ کیلوگرم نیترژن در هکتار به‌دست آورده و بیان کردند که با مصرف این مقدار نیترژن، ۹۰ درصد بیشترین عملکرد حاصل می‌شود.

روش سطح-پاسخ، مجموعه‌ای از روش‌های آماری و ریاضی است که برای آنالیز و مدل‌سازی پاسخ‌های یک فرآیند استفاده می‌شود و هدف نهایی آن بهینه‌سازی فرآیند است (Myers & Montgomery, 1995). روش سطح پاسخ یک ابزار قدرتمند برای مدل‌سازی و بهینه‌سازی منابع می‌باشد که می‌تواند با کاهش تعداد آزمایشات منجر به کاهش هزینه و زمان شود (Cojocar & Zakrzewska-Trznadel, 2007; Kalavathy, Regupathib, Pillai, & Miranda, 2009). بهینه‌سازی استفاده از کودهای شیمیایی با استفاده از روش سطح-پاسخ برای گیاهان مختلف از جمله گندم (Jahan et al., 2016; Jahan, & Amiri, 2018) کلزا (Koocheki, Nassiri Mahallati, Moradi, & Mansouri, 2013) و پیاز (Mansouri, Bannayan, Rezvani Moghaddam, & Lakzian, 2014) ارائه شده است. از آن‌جا که در زمینه بهینه‌سازی مصرف کودهای شیمیایی به‌ویژه بررسی اثر تلفیقی کودهای شیمیایی با کود دامی با استفاده از الگوها و مدل‌های ریاضی مبتنی بر داده‌های تجربی، پژوهش‌چندانی بر روی گیاه ذرت صورت نگرفته است، بنابراین، تحقیق حاضر با هدف بهینه‌سازی مقدار مصرف کودهای شیمیایی نیترژن و فسفر و کود گاوی در تولید ذرت علوفه‌ای در راستای کاهش آلودگی‌های زیست‌محیطی به همراه حصول عملکرد قابل قبول، طراحی و اجرا شد.

مواد و روش‌ها

این تحقیق در مزرعه‌ای در شهرستان ساوجبلاغ در غرب استان البرز، واقع در طول جغرافیایی ۵۰ درجه و ۳۸/۴۰ شرقی و عرض جغرافیایی ۳۵ درجه و ۳۷/۵۶ شمالی و ارتفاع از سطح دریا ۱۲۴۰ متر و

شده، هدر رود (Adesemoye, Torbert, & Klopfer, 2009; Jarvis, Hutchings, Brentrup, Olesen, & Van Der Hock, 2011; Weligama, Sale, Conyers, Liu, & Tang, 2010) سفر نیز زمانی که به میزان زیادی در مقایسه با سایر عناصر غذایی به کار برده می‌شود، تا ۹۰ درصد از آن به‌صورت ترکیب با سایر عناصر در خاک رسوب می‌کند و سبب تلفات و آلودگی‌های بعدی در منابع آب و خاک می‌شود (Adesemoye et al., 2009). افزایش مصرف کودهای شیمیایی منجر به عدم پایداری سیستم‌های زراعی و به خطر افتادن سلامت انسان‌ها می‌شود. امروزه به علت هزینه‌های سنگین تولید و مصرف کودهای شیمیایی لازم است که جذب و مصرف عناصر غذایی این کودها از کارایی بالایی برخوردار باشند (Fageria, 2014). بر اساس تحقیقات انجام‌شده به‌منظور تأمین نیاز غلات در جهان در سال ۲۰۵۰ میانگین کارایی مصرف نیترژن باید سالانه ۰/۱ تا ۰/۴ درصد افزایش پیدا کند (Doberman & Cassman, 2005). بهبود کارایی نیترژن، آلودگی‌های زیست‌محیطی را کاهش و درآمد اقتصادی را افزایش می‌دهد (Fageria, 2014). استفاده از نهاده‌های طبیعی و کودهای دامی به‌منظور بهبود حاصلخیزی خاک و تأمین بخشی از نیازهای گیاهان به‌عنوان یکی از اصول کشاورزی پایدار مطرح است (Amiri, Jahan, & Rezvani-Moghaddam, 2022). کودهای دامی باعث اصلاح خصوصیات فیزیکی، شیمیایی و بیولوژیکی خاک شده و در نتیجه ضمن افزایش تولید محصول، بهبود کارایی مصرف نیترژن را به دنبال دارند. بنابراین، کاربرد توأم کودهای شیمیایی با مواد آلی مثل کودهای دامی، می‌تواند به‌عنوان سیستم مدیریتی صحیح و منطقی علاوه‌بر صرفه‌جویی در مصرف کودهای شیمیایی و جلوگیری از اثرات زیان‌آور آن‌ها بر آب‌های سطحی و زیرزمینی، توازن عناصر غذایی در خاک و گیاه و میزان عملکرد را در کشت‌های متوالی بهبود بخشد (Jahan, Nassiri, Mahallati, Khalilzade, Bigonah, & Razavi, 2016).

در کشور ایران با توجه به مساحت اندک مراتع غنی و تراکم زیاد دام در آن‌ها، تولید ذرت علوفه‌ای اهمیت ویژه‌ای دارد. میزان تولید در واحد سطح این گیاه به شدت تحت تأثیر فراهمی عناصر غذایی در خاک قرار دارد. بنابراین، با توجه به مزایای استفاده از کودهای دامی و همچنین کاهش مصرف کودهای شیمیایی به‌منظور کاهش آلودگی‌های زیست‌محیطی و ایجاد تعادل تغذیه‌ای در تولید ذرت علوفه‌ای، تعیین بهینه مصرف کودهای شیمیایی و دامی با یکدیگر می‌تواند به‌عنوان یکی از راهکارهای مؤثر در جهت تأمین نیاز تغذیه‌ای گیاه و همچنین کاهش آلودگی‌های زیست‌محیطی در نظر گرفته شود.

سادات روضاتی (Sadat-Rozati, 2008) مصرف ۳۸۲ کیلوگرم اوره در هکتار را به‌عنوان بهترین میزان نیترژن برای به‌دست آوردن بالاترین عملکرد ذرت گزارش نمود. نتایج بررسی مقدار استفاده از

همچنین کل آزمایش در دو تکرار و دو سال متوالی اجرا شد. در طرح باکس- بنکن، تیمارهای آزمایشی به صورت کدهای بدون واحد +۱، -۱ و صفر نشان داده می‌شوند که به ترتیب بیانگر سطوح بالا، پایین و میانگین متغیرهای مستقل می‌باشند. قبل از کاشت نمونه‌ای از خاک مزرعه مورد آزمایش به صورت تصادفی انتخاب و جهت تعیین میزان عناصر موجود، pH و EC و بافت خاک به آزمایشگاه خصوصی خاک‌شناسی البرز آما واقع در کرج منتقل شد (جدول ۲). همچنین خصوصیات شیمیایی کود دامی مورد استفاده شامل pH، EC و میزان عناصر غذایی موجود در آن در آزمایشگاه اندازه‌گیری شد (جدول ۳).

با استفاده از روش سطح- پاسخ و در قالب طرح باکس- بنکن (Karmoker, Hasan, Ahmed, Saifuddin, & Reza, 2019) در بهار سال ۱۳۹۵ و ۱۳۹۶ اجرا شد. با استفاده از طرح باکس- بنکن این امکان فراهم می‌شود که بیشترین اطلاعات را از حداقل عملیات اجرایی از طریق توزیع نقاط آزمایشی در محدوده‌ی تیمارها به دست آورد. بر این اساس، تیمارهای آزمایشی با توجه به سطوح بالا و پایین کود نیتروژن (صفر و ۳۰۰ کیلوگرم در هکتار)، کود فسفر (صفر، ۱۵۰ کیلوگرم در هکتار) و کود دامی (صفر و ۴۰ تن در هکتار) برای گیاه ذرت توسط نرم‌افزار Minitab تعیین گردید که در مجموع ۱۵ ترکیب تیماری با سه تکرار برای نقطه مرکزی حاصل شد (جدول ۱).

جدول ۱- ضرایب و ترکیب‌های تیماری طراحی شده در طرح باکس- بنکن

Table 1- Coefficients and treatments in box-behken design

Runs	ضرایب Coefficients			مقدار Value		
	نیتروژن (Nitrogen) (x ₁)	فسفر (Phosphor) (x ₂)	کود دامی (Manure) (x ₃)	نیتروژن (Nitrogen) (kg.ha ⁻¹)	فسفر (Phosphor) (kg.ha ⁻¹)	کود دامی (Farmyard manure) (t.ha ⁻¹)
1	-1	-1	-1	0	0	0
2	+1	-1	-1	300	0	0
3	-1	+1	-1	0	150	0
4	+1	+1	-1	300	150	0
5	-1	-1	+1	0	0	40
6	+1	-1	+1	300	0	40
7	-1	+1	+1	0	150	40
8	+1	+1	+1	300	150	40
9	-1	0	0	0	75	20
10	+1	0	0	300	75	20
11	0	-1	0	150	0	20
12	0	+1	0	150	150	20
13	0	0	-1	150	150	0
14	0	0	+1	150	75	40
15	0	0	0	150	75	20

جدول ۲- خصوصیات فیزیکوشیمیایی خاک مزرعه مورد آزمایش برای کشت ذرت

Table 2- Physicochemical characteristics of soil for maize sowing

سال Year	بافت Texture	نیتروژن N (%)	فسفر P(ppm)	پتاسیم K(ppm)	EC (dS.m ⁻¹)	pH	ماده آلی OM(%)
2016	Loamy-sandy	0.11	9.61	349	0.6	7.83	1.1
2017	Loamy-sandy	0.103	10.88	214	0.91	7.80	0.96

جدول ۳- خصوصیات شیمیایی کود گاوی مورد استفاده برای کشت ذرت

Table 3- Chemical characteristics of used farmyard manure for maize sowing

سال Year	نیتروژن N(%)	فسفر P(ppm)	پتاسیم K(ppm)	منگنز Mn(ppm)	روی Zn(ppm)	مس Cu(ppm)	آهن Zn(ppm)	EC (dS.m ⁻¹)	pH	ماده آلی (%)OM	C/N
2016	1.89	1.10	4.21	510.34	289.4	70.1	3947.4	9.73	9.31	51.12	13.52
2017	1.95	0.92	3.49	460.43	296.3	67.9	4657.94	9.80	9.24	50.06	12.83

طریق کود دامی (kg.m^{-2}): N_{plant} ; میزان نیتروژن گیاه در انتهای فصل رشد (mg.g^{-1}) و N_{soil} : نیتروژن موجود در خاک پس از برداشت محصول (kg.m^{-2}). تمام متغیرها بر اساس واحد کیلوگرم نیتروژن در هکتار محاسبه شدند. جهت محاسبه کارایی زراعی مصرف نیتروژن (ANUE^1) نیز از رابطه (۲) استفاده شد (Rathke, Behrens, & Diepenbrock, 2006).

$$\text{ANUE} = \frac{\text{Yield}}{N_{\text{initial}} + N_{\text{fertilizer}} + N_{\text{manure}}} \quad (2)$$

که در این معادله Yield: عملکرد ذرت علوفه‌ای (کیلوگرم در هکتار) بود.

مقادیر بهینه مصرف کود نیتروژن، فسفر و همچنین کود دامی بر اساس سه سناریوی اقتصادی، زیست‌محیطی و اقتصادی-زیست‌محیطی محاسبه شد. بدین منظور، در سناریوی اقتصادی، عملکرد علوفه؛ در سناریوی زیست‌محیطی، تلفات نیتروژن و در سناریوی اقتصادی-زیست‌محیطی، کارایی زراعی استفاده از نیتروژن به‌عنوان عوامل اصلی تعیین‌کننده مقدار بهینه منابع مورد استفاده در نظر گرفته شدند. جهت برازش داده‌ها، معادله رگرسیونی چند جمله‌ای درجه دو کامل^۲ که شامل روابط خطی، درجه دو و اثر متقابل بین متغیرها هست، به کار گرفته شد (رابطه ۳).

$$y_i = a_0 + a_1x_1 + a_2x_2 + a_3x_3 + a_4x_1^2 + a_5x_2^2 + a_6x_3^2 + a_7x_1x_2 + a_8x_1x_3 + a_9x_2x_3 \quad (3)$$

در این معادله y_i متغیر وابسته شامل عملکرد علوفه، تلفات نیتروژن و کارایی زراعی مصرف نیتروژن؛ x_1 ، x_2 و x_3 به ترتیب متغیرهای مستقل کود نیتروژن، کود فسفر و کود دامی و a_i ضرایب معادله می‌باشند. به منظور ارزیابی مدل و مقایسه نتایج مدل با مقادیر مشاهده‌شده از خط ۱:۱، ضریب تبیین و همچنین از جذر میانگین مربعات خطای نرمال شده (NRMSE)^۳ استفاده شد (رابطه ۴):

$$\text{NRMSE} (\%) = \frac{100}{O} \times \sqrt{\frac{\sum_{i=1}^n (P_i - O_i)^2}{n}} \quad (4)$$

P_i : مقادیر پیش‌بینی شده، O_i : مقادیر اندازه‌گیری شده، n : تعداد مشاهدات و \bar{O} : میانگین داده‌های اندازه‌گیری شده. تعیین ترکیب تیمارها و همچنین تجزیه و تحلیل داده‌های آزمایش با استفاده از نرم‌افزار Minitab Ver.16 انجام گرفت. لازم به ذکر است با توجه به این که اثر سال معنی‌دار نبود، آزمون یکنواختی واریانس خطای دو سال با استفاده از آزمون بارتلت انجام و پس از اطمینان از یکنواختی واریانس خطای دو سال، داده‌ها به صورت میانگین دو سال گزارش شدند.

بعد از آماده‌سازی زمین، کاشت بذور ذرت سینگل کراس ۷۰۴ (دیورس با میانگین طول دوره رویش برای دانه ۱۳۰-۱۴۵ روز و برای علوفه ۹۰-۱۱۰ روز، میانگین وزن هزار دانه ۳۰۰-۳۵۰ گرم، میانگین ارتفاع بوته ۳۰۰ سانتی‌متر) در کرت‌های ۴×۵ متر با فاصله ردیف ۶۰ سانتی‌متر (۶ ردیف در هر کرت) با تراکم ۱۰ بوته در هر مترمربع انجام گرفت. تاریخ کاشت در سال ۱۳۹۵ و ۱۳۹۶ به ترتیب در ششم و هشتم خرداد ماه انجام گرفت. آبیاری بلافاصله پس از کاشت و پس از آن هر ۷ روز یکبار انجام شد. در کرت‌های دارای کود نیتروژن، یک سوم کود نیتروژن از منبع اوره در زمان کاشت و دو سوم باقی‌مانده کود به صورت سرک در مرحله ۹-۷ برگی مصرف شد (Mirzashahi & Hossainpour, 2014). تمام کود فسفر از منبع سوپر فسفات تریپل با توجه به تیمارهای مورد نظر یک ماه قبل از کاشت به کرت‌های مربوطه اضافه و با خاک مخلوط شد. به منظور اعمال کود آلی، کود دامی بر مبنای ۲۰ و ۴۰ تن در هکتار یک ماه قبل از کاشت به طور یکنواخت در سطح کرت‌های مورد نظر پخش گردید. مبارزه با علف‌های هرز در طی فصل رشد و به صورت دستی انجام گرفت و در طی فصل رشد از هیچ‌گونه علف‌کشی استفاده نشد. در مرحله ظهور گل نر (VT) مساحت برگ‌های بوته‌های واقع در مساحت 0.5×0.5 متر از هر کرت با استفاده از دستگاه اندازه‌گیری سطح برگ شرکت دلتا تی انگلستان در آزمایشگاه باغبانی پردیس کشاورزی دانشگاه تهران واقع در کرج اندازه‌گیری و سپس شاخص سطح برگ (LAI) محاسبه شد. برداشت محصول علوفه در مرحله خمیری دانه (R4) در تاریخ دوم مهر ماه ۱۳۹۵ و سوم مهر ماه ۱۳۹۶ انجام شد. برای تعیین عملکرد نهایی، دو ردیف کناری و نیم متر از ابتدا و انتهای هر کرت به عنوان اثر حاشیه حذف و بقیه به عنوان عملکرد نهایی گزارش شد. برای تعیین وزن خشک، بوته‌های برداشت‌شده به آزمایشگاه باغبانی پردیس کشاورزی دانشگاه تهران واقع در کرج منتقل و به مدت دو روز در دمای ۷۲ درجه سانتی‌گراد در آون خشکانده و سپس توزین شدند.

پس از برداشت نهایی، نمونه‌برداری از گیاهان هر تیمار به منظور تعیین محتوای نیتروژن گیاه انجام شد. برای تعیین درصد نیتروژن نمونه‌ها از روش هضم تر (Nelson & Somers, 1973) در آزمایشگاه خصوصی شرکت خاک بهین آزما (کرج) استفاده گردید. پس از اتمام آزمایش، میزان نیتروژن موجود در خاک با نمونه‌گیری از عمق صفر تا ۳۰ سانتی‌متری خاک تعیین شد. تلفات نیتروژن نیز از طریق رابطه (۱) محاسبه شد (Jarvis et al., 2011):

$$N_{\text{loss}} = N_{\text{initial}} + N_{\text{fertilizer}} + N_{\text{manure}} - (N_{\text{plant}} + N_{\text{soil}}) \quad (1)$$

که در آن، N_{loss} : تلفات نیتروژن (kg.m^{-2}); N_{initial} : نیتروژن موجود در خاک در ابتدای فصل رشد (kg.m^{-2}); $N_{\text{fertilizer}}$: نیتروژن مصرفی از طریق کود اوره (kg.m^{-2}); N_{manure} : نیتروژن مصرفی از

1- Agronomical Nitrogen Use Efficiency

2- Full quadratic polynomial equation

3- Normalized Root Mean Square Error (NRMSE)

نتایج و بحث

مصرف نیتروژن به ترتیب برابر با ۹۸/۵۱، ۸۴/۴۱، ۹۰/۷۹، ۹۶/۱۹ و ۸۳/۸۲ درصد بود که درصد تغییرات هر یک از صفات را با استفاده از مدل رگرسیونی توجیه می‌کند (جدول ۵).

مقادیر محاسبه شده برای شاخص NRMSE نشان داد که مدل رگرسیونی برآورد مناسبی برای پیش‌بینی مقادیر متغیرهای وابسته داشت؛ به طوری که مدل صفات شاخص سطح برگ، ماده خشک، عملکرد علوفه، تلفات نیتروژن و کارایی زراعی مصرف نیتروژن را به ترتیب با اختلاف ۴/۰۴، ۵/۴۷، ۸/۱۷، ۶/۱۴ و ۱۷/۴۱ درصد نسبت به داده‌های اندازه‌گیری شده شبیه‌سازی می‌کند (شکل ۱).

نتایج تجزیه واریانس مدل رگرسیون درجه دو کامل و اجزای آن شامل جزء خطی، درجه دو و اثر متقابل بین تیمارها در جدول ۴ آمده است. بر اساس نتایج تجزیه واریانس، مدل رگرسیون درجه دو کامل برای تمام صفات مورد بررسی در سطح احتمال ۱ درصد ($p \leq 0.01$) معنی‌دار بود. در خصوص بررسی اجزای مدل، نتایج نشان داد که اجزای خطی، درجه دو و اثر متقابل مدل بر تمام صفات به غیر از اثر متقابل تیمارها بر عملکرد علوفه معنی‌دار بود (جدول ۴). ضرایب تبیین رگرسیون برای متغیرهای وابسته شاخص سطح برگ، ماده خشک، عملکرد علوفه، تلفات نیتروژن و کارایی زراعی

جدول ۴- تجزیه واریانس رگرسیونی مدل درجه دو کامل به همراه اجزای مدل برای صفات مورد بررسی ذرت علوفه‌ای

Table 4- Variance analysis of full quadratic regression model along with its components for studied traits of fodder maize

منابع تغییر S.O.V.	درجه آزادی (df)	شاخص سطح برگ LAI	ماده خشک Dry matter	عملکرد علوفه Fodder yield	تلفات نیتروژن N losses	کارایی زراعی مصرف نیتروژن ANUE
Block بلوک	1	0.049**	7.65ns	62.59**	17.9ns	171ns
Regression رگرسیون	9	0.796**	76.0**	449.2**	6949**	5595**
Linear خطی	3	2.37**	188**	1301**	17169**	9278**
(N) نیتروژن	1	6.10**	494**	3258**	41494**	18858**
(P) فسفر	1	0.062**	17.32*	62.67**	915**	245ns
(M) کود دامی	1	0.947**	54.45**	584**	9099**	8732**
Quadratic درجه دو	3	0.008*	26.29**	34.98*	1084**	2539*
N×N	1	0.0001ns	12.72ns	100**	168ns	5192**
P×P	1	0.017*	20.65*	4.31ns	8.7ns	1592ns
M×M	1	0.005ns	55.58**	6.98ns	2957**	434ns
Interaction اثر متقابل	3	0.009*	12.84*	10.88ns	2593**	4967**
N×P	1	0.001ns	0.376ns	1.39ns	48.3ns	170ns
N×M	1	0.021**	34.24**	28.12*	7717**	14732**
P×M	1	0.006ns	3.92ns	3.12ns	15.5ns	100ns
Error اشتباه	19	0.002	4.14	7.30	84.3	513

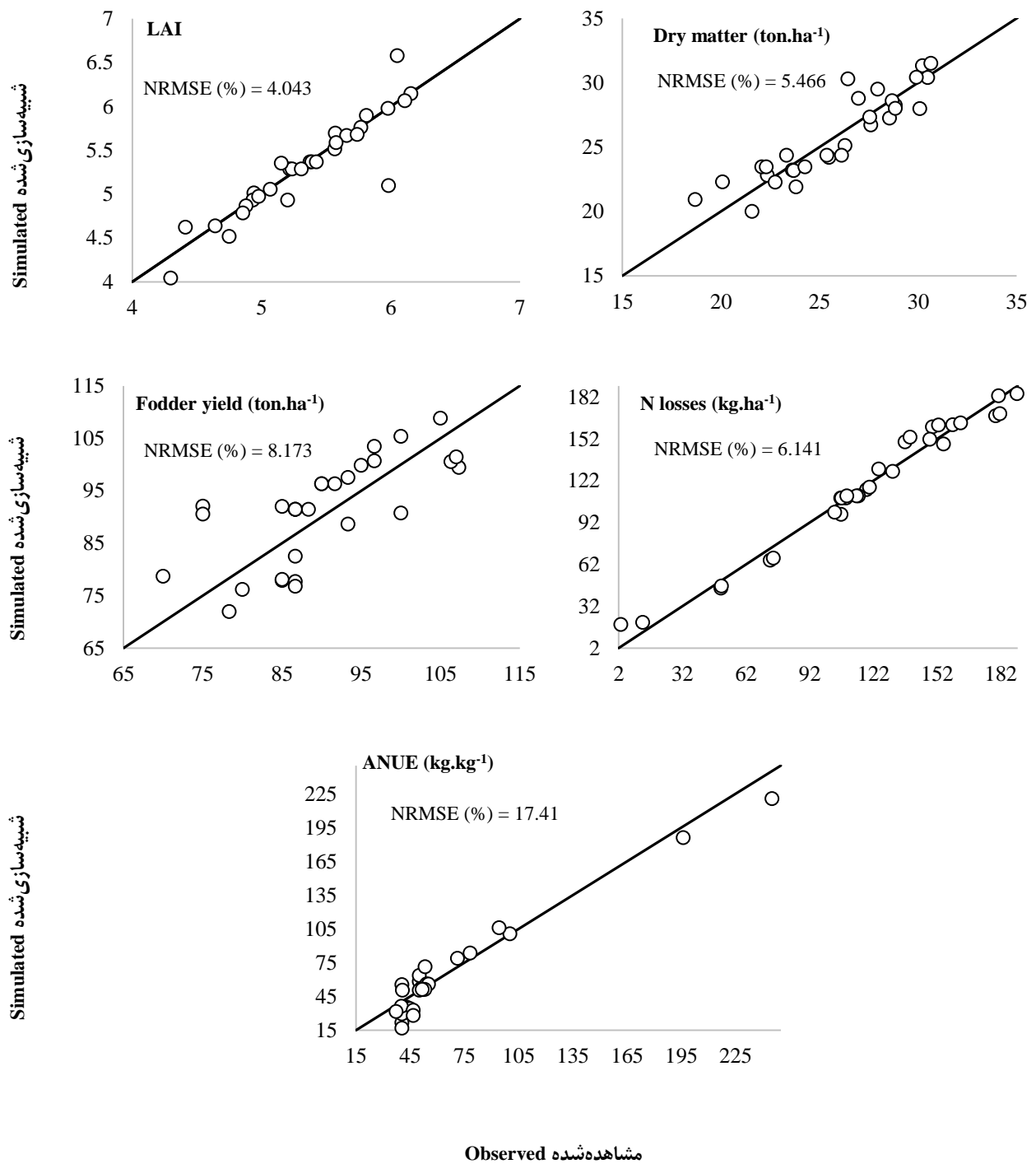
ns: عدم معنی‌داری. *, **: به ترتیب معنی‌داری در سطح احتمال ۵ و ۱ درصد

ns: no significant. *, **: significant at 5% and 1% of probability.

جدول ۵- ضرایب رگرسیونی درجه دو کامل برای صفات مورد مطالعه ذرت علوفه‌ای

Table 5- The coefficients of full quadratic regression for studied traits of fodder maize

ضرایب Coefficients	شاخص سطح برگ LAI	ماده خشک Dry matter	عملکرد علوفه Fodder yield	تلفات نیتروژن N losses	کارایی زراعی مصرف نیتروژن ANUE
a ₀	5.3253	26.567	88.889	110.259	53.483
a ₁	0.6177	5.5612	14.270	50.925	-34.331
a ₂	0.0621	1.0405	1.9792	-7.563	3.9171
a ₃	0.2433	1.8448	6.0417	23.847	-23.361
a ₄	-0.0044	1.3127	3.6806	-4.772	26.515
a ₅	0.0478	1.6723	0.7639	1.086	-14.684
a ₆	-0.0261	2.7434	0.9722	20.012	7.6730
a ₇	-0.0124	-0.2169	0.4167	2.456	-4.6111
a ₈	-0.0512	2.0688	1.8750	-31.058	42.913
a ₉	-0.0266	-0.6998	0.6250	1.392	0.0456
R ² (%)	98.51	84.41	90.79	96.19	83.82



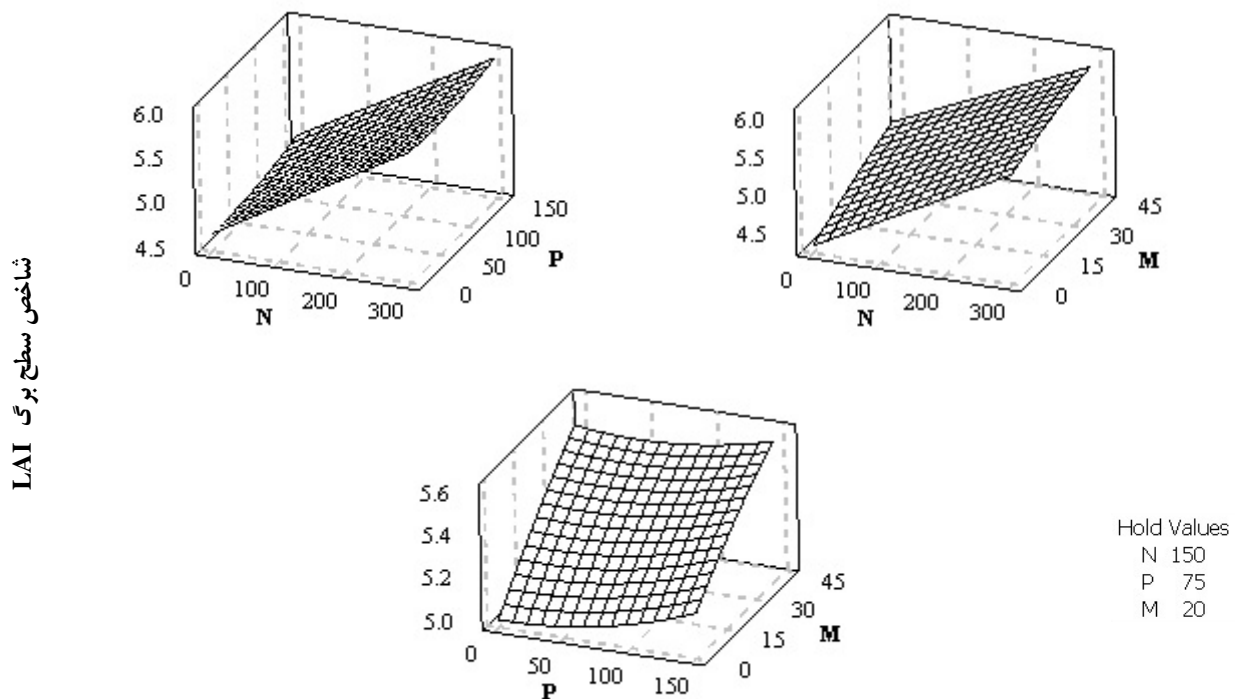
شکل ۱- مقایسه مقادیر مشاهده شده و شبیه‌سازی شده صفات شاخص سطح برگ، ماده خشک، عملکرد علوفه، تلفات نیتروژن و کارایی زراعی مصرف نیتروژن با استفاده از خط ۱:۱ و جذر میانگین مربعات خطای نرمال شده (NRMSE)

Figure 1-Comparison of observed and simulated data of LAI, dry matter, fodder yield, N losses and ANUE by 1:1 line and Normalized Root Mean Square Error (NRMSE)

شاخص سطح برگ

سطح برگ در سطوح مختلف کود دامی اثر چندانی نداشت و فقط در سطوح پایین کود دامی، افزایش فسفر منجر به افزایش اندکی در شاخص سطح برگ داشت و در سطوح بالای کود دامی تقریباً بی‌تأثیر بود (شکل ۲). بررسی اثر متقابل کود نیتروژن \times کود دامی بر شاخص سطح برگ حاکی از این بود که با افزایش سطح کود نیتروژن در تمام سطوح کود دامی، شاخص سطح برگ افزایش یافت، همچنین افزایش میزان کود دامی در سطوح مختلف نیتروژن نیز منجر به افزایش شاخص سطح برگ گردید با این تفاوت که شیب افزایش شاخص سطح برگ با افزایش سطوح کود نیتروژن در مقایسه با کود دامی بیشتر بود؛ به عبارت دیگر افزایش کود نیتروژن نسبت به کود دامی تأثیر بیشتری بر میزان شاخص سطح برگ داشت (شکل ۲).

سطح پاسخ متغیر وابسته شاخص سطح برگ تحت تأثیر اثرات متقابل دوگانه تیمارهای مختلف کود نیتروژن \times فسفر، نیتروژن \times دامی و فسفر \times دامی در شکل ۲ نشان داده شده است. بررسی اثر متقابل نیتروژن \times فسفر بر شاخص سطح برگ نشان داد که با افزایش سطح کود نیتروژن در تمام سطوح فسفر، شاخص سطح برگ افزایش یافت، در صورتی که افزایش میزان کود فسفر در سطوح مختلف نیتروژن تأثیر چندانی در شاخص سطح برگ نداشت و میزان شاخص سطح برگ با افزایش سطوحی کودی فسفر اندکی افزایش نشان داد (شکل ۲). همین روند در خصوص اثر متقابل فسفر \times کود دامی نیز مشاهده شد و افزایش کود دامی منجر به افزایش شاخص سطح برگ در تمام سطوح فسفر گردید، در صورتی که افزایش فسفر بر شاخص



شکل ۲- نمودار سطح-پاسخ شاخص سطح برگ تحت تأثیر اثر متقابل دوگانه تیمارهای کود نیتروژن (N، کیلوگرم در هکتار)، فسفر (P، کیلوگرم در هکتار) و کود دامی (M، کیلوگرم در هکتار)

Figure 2- Response-surface plot of LAI as affected by interaction of nitrogen (N, kg.ha⁻¹), phosphor (P, kg.ha⁻¹) and manure (M, kg.ha⁻¹)

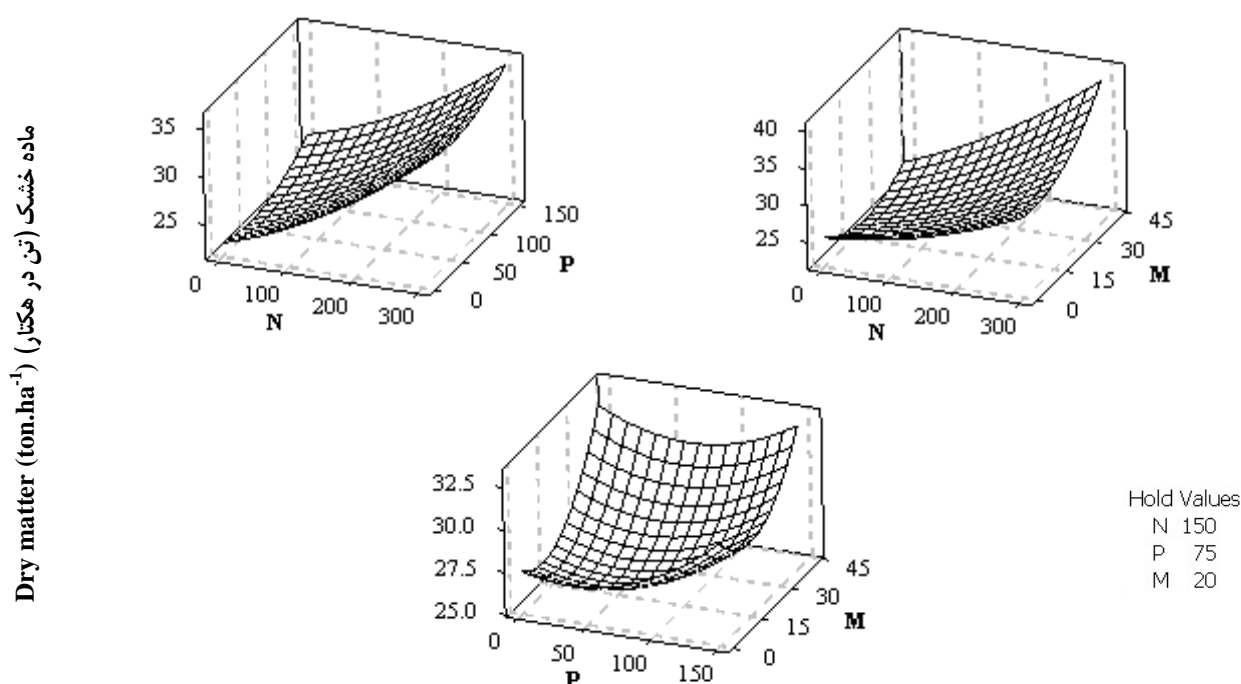
چندانی بر میزان ماده خشک نداشت، در حالی که افزایش کود نیتروژن در تمام سطوح کود فسفر، منجر به افزایش ماده خشک ذرت گردید (شکل ۳). در خصوص اثر متقابل نیتروژن \times کود دامی نیز نتایج حاکی از آن بود که افزایش میزان کود دامی در سطوح پایین کود نیتروژن

ماده خشک

بر همکنش تیمارهای نیتروژن \times فسفر بر میزان ماده خشک ذرت علوفه‌ای نشان داد که افزایش فسفر در تمام سطوح نیتروژن تأثیر

کود نیتروژن باعث افزایش قابل توجهی در میزان ماده خشک می‌گردد (شکل ۳). خودشناس و همکاران (Khodshenas, Ghadbeiklou, & Dadivar, 2016) نیز در بررسی اثر نیتروژن بر ماده خشک ذرت علوفه‌ای گزارش کردند که با افزایش میزان مصرف کود نیتروژن تا ۳۰۰ کیلوگرم در هکتار، ماده خشک ذرت علوفه‌ای روند افزایشی داشت.

تأثیری در میزان ماده خشک نداشت، ولی در سطوح بالای کود نیتروژن، افزایش کود دامی منجر به افزایش ماده خشک ذرت علوفه‌ای می‌شود که چنین روندی برای کود نیتروژن در سطوح کود دامی نیز مشاهده شد؛ به عبارت دیگر، در سطوح پایین کود دامی، افزایش میزان کود نیتروژن منجر به افزایش اندکی در میزان ماده خشک می‌شود، ولی در سطوح بالای کود دامی افزایش میزان مصرف



شکل ۳- نمودار سطح-پاسخ ماده خشک تحت تأثیر اثر متقابل دوگانه تیمارهای کود نیتروژن (N، کیلوگرم در هکتار)، فسفر (P، کیلوگرم در هکتار) و کود دامی (M، کیلوگرم در هکتار)

Figure 3- Response-surface plot of dry matter as affected by interaction of nitrogen (N, kg.ha⁻¹), phosphor (P, kg.ha⁻¹) and manure (M, kg.ha⁻¹)

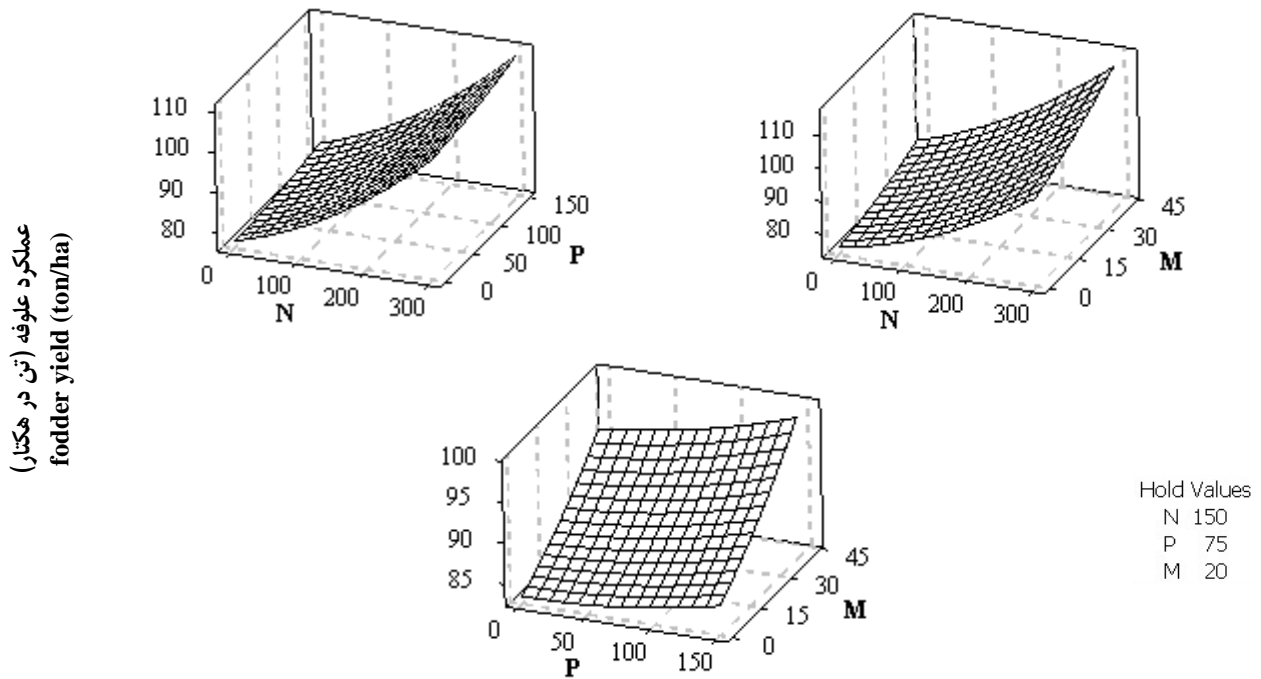
برهمکنش کود نیتروژن × کود فسفر می‌باشد؛ به طوری که افزایش کود نیتروژن در سطوح بالای کود دامی از عملکرد علوفه بیشتری نسبت به سطوح پایین کود دامی برخوردار بود. به نظر می‌رسد که افزایش عملکرد علوفه در سطوح بالای کود دامی در اثر مصرف کود نیتروژن علاوه بر افزایش عناصر موجود در کود دامی به خاک، به بهبود خصوصیات فیزیکوشیمیایی خاک بر اثر مصرف کود دامی که منجر به بهبود جذب عناصر، افزایش درصد تخلخل، کاهش وزن مخصوص ظاهری خاک و پایداری خاک‌دانه‌ها شده (Emdad, Tafteh, & Ghaffari Nejad, 2023; Mohiti Asl, 2011) و در نهایت افزایش عملکرد علوفه را به همراه داشته است. همان‌طور که در قبل نیز اشاره شد بالاترین شاخص سطح برگ در بالاترین سطوح مصرف کود نیتروژن و کود دامی به دست آمد؛ با توجه به این که بالاترین عملکرد علوفه نیز در بالاترین سطوح مصرف کود نیتروژن و

عملکرد علوفه

نتایج نشان داد که روند تغییرات عملکرد ذرت علوفه‌ای تحت تأثیر تیمارهای دوگانه کودی تقریباً به صورت خطی بود (شکل ۴). بررسی اثر برهمکنش کود نیتروژن × کود فسفر نشان داد که افزایش کود فسفر در سطوح بالای کود نیتروژن نسبت به سطوح پایین کود نیتروژن با شیب تندتری منجر به افزایش عملکرد علوفه می‌گردد. افزایش کود نیتروژن نیز منجر به افزایش عملکرد علوفه در تمام سطوح کود فسفر شد که این افزایش در سطوح بالای کود فسفر نسبت به سطوح پایین فسفر بیشتر بود (شکل ۴). این موضوع بیانگر این است که در صورت وجود نیتروژن کافی و در دسترس برای گیاه تأثیر فسفر در افزایش عملکرد علوفه ذرت بیشتر نمود پیدا می‌کند (Hawkesford & Barraclough, 2011). روند افزایش عملکرد علوفه تحت تأثیر اثر متقابل کود نیتروژن × کود دامی نیز مشابه اثر

است. اثر متقابل کود فسفر × کود دامی بر عملکرد ذرت علوفه‌ای حاکی از این بود که افزایش کود دامی منجر به افزایش عملکرد علوفه در سطوح مختلف کود فسفر می‌گردد، در صورتی که افزایش کود فسفر در تمام سطوح کود دامی تأثیری چندانی در افزایش عملکرد علوفه نداشت (شکل ۴).

دامی حاصل شد، می‌توان عنوان کرد که مساحت برگ و به‌عبارتی سطح فتوسنتزکننده تأثیر مستقیم و قابل توجهی بر میزان پتانسیل تولید ذرت علوفه‌ای دارد و بنابراین بیشتر شدن میزان شاخص سطح برگ در بالاترین سطوح کود نیتروژن و کود دامی موجب افزایش پتانسیل تولید ذرت علوفه‌ای شده و عملکرد علوفه را بهبود بخشیده



شکل ۴- نمودار سطح-پاسخ عملکرد علوفه تحت تأثیر اثر متقابل دوگانه تیمارهای کود نیتروژن (N، کیلوگرم در هکتار)، فسفر (P، کیلوگرم در هکتار) و کود دامی (M، کیلوگرم در هکتار)

Figure 4- Response-surface plot of fodder yield as affected by interaction of nitrogen (N, kg.ha⁻¹), phosphorus (P, kg.ha⁻¹) and manure (M, kg.ha⁻¹)

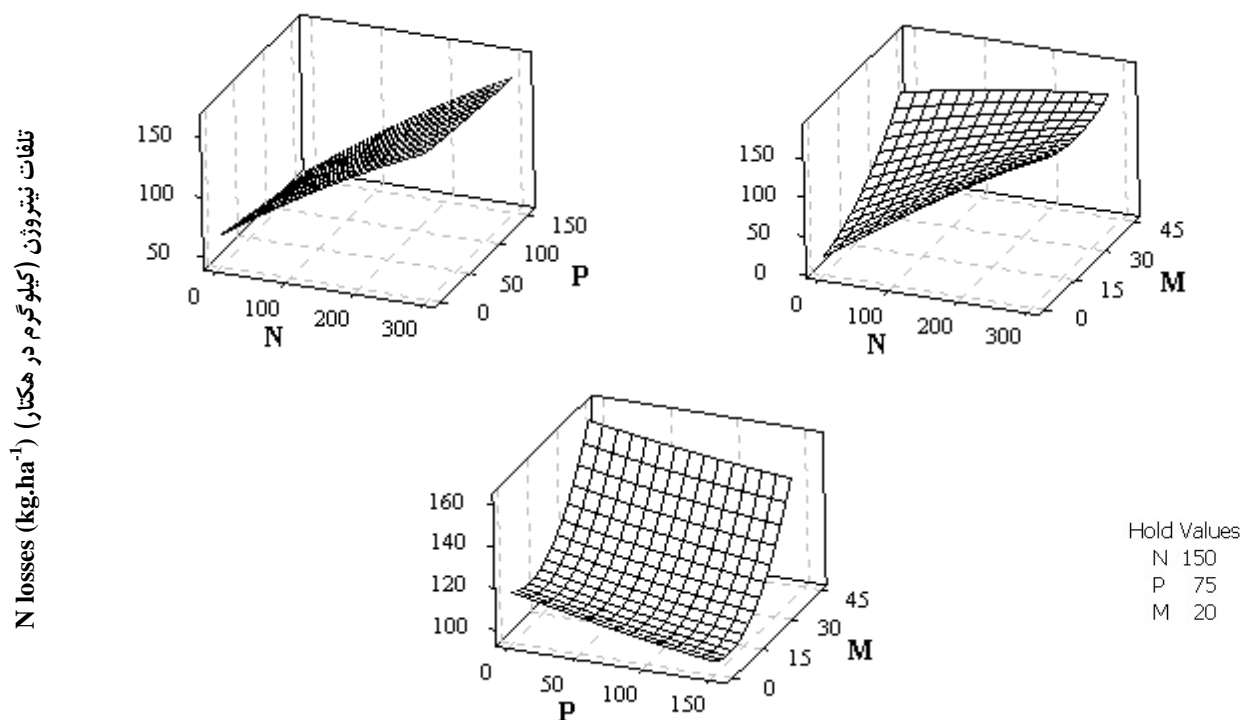
تلفات نیتروژن تحت تأثیر اثر متقابل کود نیتروژن × کود دامی در شرایط مصرف بالاترین سطح کود نیتروژن (۳۰۰ کیلوگرم در هکتار) و عدم مصرف کود دامی به‌دست آمد (شکل ۵). بنابراین می‌توان نتیجه گرفت که کاربرد توأم کودهای شیمیایی اوره با مواد آلی مانند کودهای دامی به سبب آهسته و پیوسته آزاد کردن نیتروژن و بر همکنش با عوامل دیگر می‌تواند تلفات این عنصر را کاهش دهد (Gastal & Lemaire, 2002). جهان و همکاران (Jahan et al., 2016) نیز در بررسی اثرات سطوح مختلف کود نیتروژن و دامی بر میزان تلفات نیتروژن در زراعت گندم پاییزه بیان کردند که تلفات نیتروژن به موازات افزایش سطوح کاربرد کود نیتروژن و دامی افزایش یافت. به‌طور کلی مقدار تلفات نیتروژن بسته به شرایط اقلیمی، خاکی و مدیریت گیاهی و همچنین اثرات متقابل بین این عوامل متفاوت می‌باشد (Greer & Pittelkow, 2018). تلفات نیتروژن در مزارع گیاهان بیشتر از طریق آبشویی، رواناب، دنتریفیکاسیون و تصعید

تلفات نیتروژن

بر اساس نمودار اثر متقابل کود نیتروژن × کود فسفر بر تلفات نیتروژن، در سطوح مختلف کود فسفر تلفات نیتروژن با افزایش میزان مصرف کود نیتروژن افزایش یافت. با وجود این که افزایش کود فسفر در سطوح پایین کود نیتروژن منجر به کاهش اندکی در تلفات نیتروژن گردید، ولی به‌طور کلی افزایش کود فسفر تقریباً تأثیری بر میزان تلفات نیتروژن در سطوح مختلف کود نیتروژن نداشت (شکل ۵). بر همکنش کود نیتروژن × کود دامی بر تلفات نیتروژن نیز حاکی از این بود که با افزایش کود نیتروژن در تمام سطوح کود دامی، میزان تلفات نیتروژن افزایش یافت، با این تفاوت که شیب افزایش تلفات نیتروژن در سطوح پایین کود دامی تندتر از سطوح بالای مصرف کود دامی بود، به عبارت دیگر، مصرف کود دامی باعث کاهش تلفات نیتروژن در سطوح بالای کود نیتروژن گردید؛ به‌طوری که بیشترین

مصرف نیتروژن یکی از عوامل اصلی افزایش تلفات نیتروژن بوده و مهم‌ترین مسیر تلفات را آبشویی نترات عنوان کردند. بررسی اثر کود فسفر × کود دامی نیز بیانگر افزایش تلفات نیتروژن با افزایش سطوح کود دامی و کاهش تلفات نیتروژن با افزایش سطوح کود فسفر بود؛ البته توجه به این نکته ضروری است که کاهش تلفات نیتروژن در صورت افزایش مصرف کود فسفر با شیب کندی اتفاق افتاد، در حالی که افزایش تلفات نیتروژن با بالا بردن میزان مصرف کود دامی با شیب تندی همراه بود. بنابراین بیشترین تلفات نیتروژن تحت تأثیر برهمکنش کود فسفر × کود دامی در شرایط عدم مصرف کود فسفر و بالاترین سطح مصرف کود دامی مشاهده شد (شکل ۵). به‌طور کلی نتایج نشان داد که عنصر فسفر تأثیر اندکی بر کاهش میزان تلفات نیتروژن داشت و اندک تأثیر آن را هم می‌توان به بهبود رشد ریشه (Kim & Li, 2016) و در نتیجه بهبود جذب عناصر از جمله نیتروژن و در نتیجه کاهش تلفات این عنصر نسبت داد.

آمونومی (Akintoye, Klinga, & Lucas, 1999) اتفاق می‌افتد و کاربرد مقادیر بیشتر کود نیتروژن منجر به افزایش تلفات از طریق روش‌های مذکور می‌شود. هالورسون و همکاران (Halvorson, Bartolo, Reule, & Berrada, 2008) و دیوید و همکاران (David, Drinkwater, & Mclsaac, 2010) گزارش کردند که افزایش مصرف کود نیتروژن پتانسیل آبشویی نترات در خاک را افزایش می‌دهد و آبشویی نترات را یکی از مهم‌ترین مسیرهای تلفات نیتروژن در مزارع مطرح کردند. مطالعات انجام‌گرفته بر روی گیاه ذرت نشان داده است که در مزارع ذرت نیز افزایش ورودی نیتروژن به خاک با افزایش تلفات نیتروژن همراه بوده است (Jaynes, Colvin, Karlen, Cambardella, & Meek, 2001; Helmers, Zhou, Baker, Melvin, & Lemke, 2012; Christianson & Lawlor, Harmel, Baker, 2015). لاولر و همکاران (Melvin, & Lemke, 2008) نیز با اندازه‌گیری میزان نیتروژن موجود در آب زهکشی‌شده از مزرعه ذرت بیان کردند که افزایش



شکل ۵- نمودار سطح-پاسخ تلفات نیتروژن تحت تأثیر اثر متقابل دوگانه تیمارهای کود نیتروژن (N، کیلوگرم در هکتار)، فسفر (P، کیلوگرم در هکتار) و کود دامی (M، کیلوگرم در هکتار)

Figure 5- Response-surface plot of N losses as affected by interaction of nitrogen (N, kg.ha⁻¹), phosphor (P, kg.ha⁻¹) and manure (M, kg.ha⁻¹)

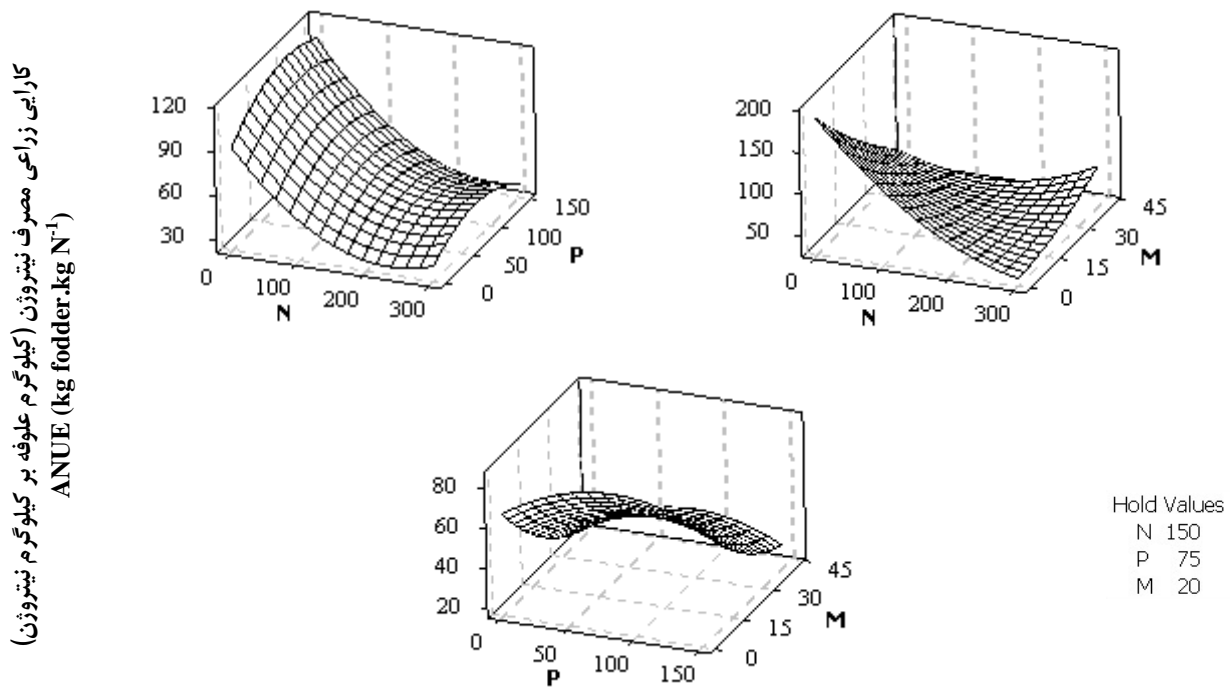
نیتروژن × کود فسفر، افزایش مصرف کود نیتروژن تا حدود ۲۰۰ کیلوگرم در هکتار در تمامی سطوح کود فسفر، باعث کاهش کارایی زراعی مصرف نیتروژن گردید، در حالی که در سطوح مختلف کود نیتروژن افزایش کود فسفر تا حدود ۱۰۰ کیلوگرم در هکتار منجر به

کارایی زراعی مصرف نیتروژن

کارایی زراعی مصرف نیتروژن تحت اثر متقابل دوگانه تیمارهای مختلف در شکل ۶ نشان داده شده است. بر اساس اثر متقابل کود

نیتروژن با توجه به اثر کود نیتروژن \times کود دامی نشان داد که در سطوح پایین کود دامی، بالا بردن میزان مصرف کود نیتروژن منجر به کاهش کارایی زراعی مصرف نیتروژن می‌گردد، در صورتی که در سطوح بالای کود دامی چنین روندی مشاهده نمی‌شود و با افزایش کود نیتروژن ابتدا کارایی زراعی مصرف نیتروژن با شیب بسیار کمی کاهش یافته و سپس افزایش می‌یابد که این موضوع بیانگر بهبود کارایی زراعی مصرف نیتروژن در نتیجه‌ی مصرف کود دامی می‌باشد (شکل ۶).

افزایش کارایی زراعی مصرف نیتروژن شد. کاهش کارایی مصرف نیتروژن تحت تأثیر افزایش سطوح کود نیتروژن در سایر مطالعات (Jahan *et al.*, 2016; Moraghebi, Akbari Famileh, Houshmandfar, 2012; Marino *et al.*, 2004) شده است که با یافته‌های این تحقیق مطابقت دارد. با توجه به این که کارایی زراعی مصرف نیتروژن از کسر عملکرد علوفه بر میزان کود نیتروژن مصرفی حاصل می‌شود به نظر می‌رسد که افزایش کود فسفر از طریق افزایش عملکرد علوفه منجر به افزایش کارایی زراعی مصرف نیتروژن گردیده است. روند تغییرات کارایی زراعی مصرف



شکل ۶- نمودار سطح-پاسخ کارایی زراعی مصرف نیتروژن تحت تأثیر اثر متقابل دوگانه تیمارهای کود نیتروژن (N، کیلوگرم در هکتار)، فسفر (P، کیلوگرم در هکتار) و کود دامی (M، کیلوگرم در هکتار)

Figure 6- Response-surface plot of NUE as affected by interaction of nitrogen (N, kg.ha⁻¹), phosphor (P, kg.ha⁻¹) and manure (M, kg.ha⁻¹)

شدند. بر این اساس در سناریوی اقتصادی کاربرد ۲۴۲/۴۲ کیلوگرم نیتروژن در هکتار و ۹۵/۴۵ کیلوگرم فسفر در هکتار به همراه ۳۳/۱۳ تن در هکتار کود دامی توصیه شد که کاربرد این مقادیر منجر به تولید ۳۳/۹۷ تن در هکتار ماده خشک و ۱۰۵ تن در هکتار علوفه می‌گردد. در چنین شرایطی میزان شاخص سطح برگ ذرت برابر با ۵/۸۵، تلفات نیتروژن معادل ۱۵۰ کیلوگرم در هکتار و کارایی زراعی مصرف نیتروژن برابر با ۴۶/۹۴ کیلوگرم علوفه به‌ازای کیلوگرم نیتروژن خواهد بود (جدول ۶).

بهینه‌سازی تیمارها

نتایج بهینه‌سازی تیمارها در سه سناریوی مختلف اقتصادی، زیست‌محیطی و اقتصادی-زیست‌محیطی در جدول ۶ آمده است. لازم به ذکر است که تفاوت سناریوهای مورد بررسی در میزان اهمیت متغیر پاسخ در هر سناریو می‌باشد؛ به طوری که در سناریوی اقتصادی، عملکرد علوفه؛ در سناریوی زیست‌محیطی، تلفات نیتروژن و در سناریوی اقتصادی-زیست‌محیطی، کارایی زراعی استفاده از نیتروژن به‌عنوان عوامل اصلی تعیین‌کننده مقدار بهینه تیمارها در نظر گرفته

جدول ۶- بهینه‌سازی مقادیر تیمارهای کودی نیتروژن، فسفر و دامی برای دستیابی به متغیرهای پاسخ در سناریوهای مختلف
Table 6- Optimization of the N, P fertilizers and manure to gain response variables under different scenarios

متغیرها Variables	سناریو Scenario	اقتصادی-زیست‌محیطی		
		اقتصادی Economic	زیست‌محیطی Environmental	اقتصادی-زیست‌محیطی Eco-environmental
متغیرهای مستقل Independent variables	نیتروژن N	242.42	0.0	78.79
	فسفر P	95.45	146.9	150
	کود دامی Manure	33.13	21.82	8.48
متغیرهای وابسته Dependent variables	شاخص سطح برگ LAI	5.85	4.84	4.89
	ماده خشک dry matter	33.97	25.07	29.66
	عملکرد علوفه Fodder yield	105	80.94	90.87
	تلفات نیتروژن N losses	150	51.2	64.75
	کارایی زراعی مصرف نیتروژن ANUE	46.94	103.03	116.4

نتیجه‌گیری

نتایج پژوهش حاضر نشان داد که بر اساس معیارهای ارزیابی و اعتبارسنجی مدل، روش سطح-پاسخ و رگرسیون درجه دو کامل استفاده شده در این مدل از توانایی و دقت کافی در برآورد صفات مورد مطالعه در گیاه ذرت علوفه‌ای برخوردار بود. تلفات نیتروژن با افزایش میزان مصرف کود نیتروژن افزایش یافت، ولی افزایش کود فسفر تأثیری بر میزان تلفات نیتروژن در سطوح مختلف کود نیتروژن نداشت. شیب افزایش تلفات نیتروژن در سطوح پایین کود دامی تندتر از سطوح بالای مصرف کود دامی بود، به عبارت دیگر، مصرف کود دامی باعث کاهش تلفات نیتروژن در سطوح بالای کود نیتروژن گردید. افزایش مصرف کود نیتروژن اگرچه باعث افزایش عملکرد علوفه ذرت گردید، ولی کارایی زراعی مصرف نیتروژن را کاهش داد. به‌طور کلی با توجه به این که سناریوی اقتصادی-زیست‌محیطی، به تولید ذرت علوفه‌ای با حداقل آلودگی‌های زیست‌محیطی تأکید دارد؛ به نظر می‌رسد که سطوح پیشنهادی تیمارهای کودی بر اساس این سناریو نسبت به دو سناریوی دیگر مناسب‌تر باشند، بنابراین مصرف ۷۸/۷۹ کیلوگرم نیتروژن در هکتار، ۱۵۰ کیلوگرم فسفر در هکتار و ۸/۴۸ تن در هکتار کود دامی به‌عنوان بهینه مصرف تیمارهای کود نیتروژن، فسفر و کود دامی در این تحقیق شناخته شدند.

سپاسگزاری

بخشی از هزینه‌های انجام این پژوهش توسط معاونت محترم پژوهش و فناوری دانشگاه فردوسی مشهد در قالب طرح شماره ۳/۳۹۹۴۶ مصوب ۱۳۹۵/۵/۲ تأمین شده است، که بدین‌وسیله قدردانی می‌شود.

در سناریوی زیست‌محیطی که هدف کاهش آلودگی‌های زیست‌محیطی ناشی از مصرف کودهای شیمیایی بوده و تلفات نیتروژن به‌عنوان عامل اصلی تعیین‌کننده در این سناریو می‌باشد؛ عدم کاربرد کود نیتروژن، مصرف ۱۴۶/۹ کیلوگرم فسفر در هکتار و ۲۱/۸۲ تن کود دامی در هکتار برای دستیابی به ۴/۸۴ شاخص سطح برگ، ۲۵/۰۷ تن ماده خشک در هکتار، ۸۰/۹۴ تن علوفه در هکتار، ۵۱/۲ کیلوگرم در هکتار تلفات نیتروژن و کارایی زراعی مصرف نیتروژنی معادل ۱۰۳/۰۳ کیلوگرم علوفه به‌ازای کیلوگرم نیتروژن توسط مدل پیشنهاد شد (جدول ۶).

در سناریوی اقتصادی-زیست‌محیطی که تلفیقی از جنبه اقتصادی (عملکرد علوفه بالا) و جنبه زیست‌محیطی (کاهش تلفات نیتروژن) بوده و کارایی زراعی مصرف نیتروژن عامل اصلی موثر در انتخاب تیمارها در این سناریو بود؛ مصرف ۷۸/۷۹ کیلوگرم نیتروژن در هکتار، ۱۵۰ کیلوگرم فسفر در هکتار و ۸/۴۸ تن در هکتار کود دامی منجر به تولید ۹۰/۸۷ تن علوفه در هکتار با تلفات نیتروژنی برابر با ۶۴/۷۵ کیلوگرم در هکتار و بالاترین کارایی زراعی مصرف نیتروژن معادل ۱۱۶/۴ کیلوگرم علوفه به‌ازای کیلوگرم نیتروژن شد (جدول ۶). با توجه به این که سناریوی اقتصادی-زیست‌محیطی، مسائل اقتصادی و زیست‌محیطی را به‌طور هم‌زمان و توأم مدنظر قرار می‌دهد؛ به نظر می‌رسد که سطوح پیشنهادی تیمارها در این سناریو نسبت به دو سناریوی دیگر قابل‌توصیه‌تر باشند که این موضوع در تحقیقات مشابه توسط سایر محققین نیز پیشنهاد شده است (Jahan et al., 2016; Koocheki et al., 2013; Mansouri et al., 2014). بنابراین با توجه به نتایج کاربرد تیمارها بر اساس سناریوی اقتصادی-زیست‌محیطی (۷۸/۷۹ کیلوگرم نیتروژن در هکتار، ۱۵۰ کیلوگرم فسفر در هکتار و ۸/۴۸ تن در هکتار کود دامی) را می‌توان به‌عنوان مناسب‌ترین سطوح تیمارهای کود نیتروژن، فسفر و کود دامی در این مطالعه در نظر گرفت.

References

- Adesemoye, A. O., Torbert, H. A., & Klopffer, J. W. (2009). Plant growth promoting rhizobacteria allow reduced application rates of chemical fertilizers. *Microbial Ecology*, 58, 921-929. <https://doi.org/10.1007/s00248-009-9531-y>
- Akintoye, H. A., Klinga, J. G., & Lucas, E. O. (1999). N-use efficiency of single, double and synthetic maize lines grown at four N levels in three ecological zones of West Africa. *Field Crops Research*, 60, 189-199. [https://doi.org/10.1016/s0378-4290\(98\)00122-1](https://doi.org/10.1016/s0378-4290(98)00122-1)
- Alexandratos, N., & Bruinsma, J. (2012). World agriculture towards 2030/2050: the 2012 revision. Global Perspective Studies Team, FAO Agricultural Development Economics Division.
- Amiri, M.B., Jahan, M., & Rezvani-Moghaddam, P. (2022). An exploratory method to determine the plant characteristics affecting the final yield of *Echium amoenum* Fisch. & C.A. Mey. under fertilizers application and plant densities. *Scientific Reports*, 12:1881. <https://doi.org/10.1038/s41598-022-05724-8>
- Christianson, L. E., & Harmel, R. D. (2015). 4R water quality impacts: an assessment and synthesis of forty years of drainage nitrogen losses. *Journal of Environmental Quality*, 44, 1852-1860. <https://doi.org/10.2134/jeq2015.03.0170>
- Cojocar, C., & Zakrzewska-Trznadel, G. (2007). Response surface modeling and optimization of copper removal from aqua solutions using polymer assisted ultrafiltration. *Journal of Membrane Science*, 298, 56-70. <https://doi.org/10.1016/j.memsci.2007.04.001>
- David, M. B., Drinkwater, L. E., & McIsaac, G. F. (2010). Sources of nitrate yields in the Mississippi River basin. *Journal of Environmental Quality*, 39, 1657-1667. <https://doi.org/10.2134/jeq2010.0115>
- Doberman, A., & Cassman, K. G. (2005). Cereal area, yield and nitrogen use efficiency are drivers for future nitrogen fertilizer consumption. *Science in China*, 48, 745-758. <https://doi.org/10.1007/BF03187115>
- Emdad, M. R., Tafteh, A., & Ghaffari Nejad, S. A. (2023). Effect of using organic fertilizer on the changes of soil physical properties in different rotations cultivation in permanent plots. *Water and Soil Management and Modeling*, Accepted Manuscript Available Online from 08 April 2023. (in Persian with English abstract). <https://doi.org/10.22098/mmws.2023.12491.1245>
- Fageria, N. K. (2014). *Nitrogen Management in Crop Production*. New York: CRC Press. ISBN: 978-1-4822-2283-8.
- FAO. (2022). FAOSTAT. Land, Inputs and Sustainability. Available at: <https://www.fao.org/faostat/en/#data/RFN>
- Gastal, F., & Lemaire, G. (2002). N uptake and distribution in crops: an agronomical and ecophysiological perspective. *Journal of Experimental Botany*, 53(370), 789-799. <https://doi.org/10.1093/jexbot/53.370.789>
- Greer, K. D., & Pittelkow, C. M. (2018). Linking Nitrogen Losses With Crop Productivity in Maize Agroecosystems. *Frontiers in Sustainable Food Systems*, 2(29), 1-9. <https://doi.org/10.3389/fsufs.2018.00029>
- Halvorson, A. D., Bartolo, M. E., Reule, C. A., & Berrada, A. (2008). Nitrogen effects on onion yield under drip and furrow irrigation. *Agronomy Journal*, 100(4), 1062-1069. <https://doi.org/10.2134/agronj2007.0377>
- Hawkesford, M. J., & Barraclough, P. (2011). *The Basis of Nutrient Use Efficiency in Crops*. WILEYBLACKWELL, USA. ISBN: 978-0-8138-1992-1.
- Helmers, M. J., Zhou, X., Baker, J. L., Melvin, S. W., & Lemke, D. W. (2012). Nitrogen loss on tile drained Mollisols as affected by nitrogen application rate under continuous corn and corn-soybean rotations. *Canadian Journal of Soil Science*, 92, 493-499. <https://doi.org/10.4141/cjss2010-043>
- Jafari Malekabadi, A., Afyuni, M., Mousavi, S. F., & Khosravi, A. (2004). Nitrate concentration in groundwater in Isfahan province. *Journal of Water and Soil Science*, 8(3), 69-83. (In Persian with English abstract). <https://doi.org/10.2134/jeq2001.3041305x>
- Jahan, M., Nassiri Mahallati, M., Khalilzade, H., Bigonah, R., & Razavi, A. R. (2016). Optimizing of Nitrogen, Phosphorus and Cattle Manure Fertilizers Application in Winter Wheat Production Using Response-Surface Methodology (RSM). *Iranian Journal of Field Crops Research*, 13(4), 823-839. (In Persian with English abstract). <https://doi.org/10.22067/gsc.v13i4.39788>
- Jahan, M., & Amiri, M.B. (2018). Optimizing application rate of nitrogen, phosphorus and cattle manure in wheat production: An approach to determine optimum scenario using response-surface methodology. *Journal of Soil Science and Plant Nutrition*, 18(1), 13-26. <https://doi.org/10.4067/S0718-95162018005000102>
- Jarvis, S., Hutchings, N., Brentrup, F., Olesen, J. E., & Van Der Hock, K. W. (2011). *Nitrogen flows in farming systems across Europe*. In: *The European Nitrogen Assessment: source, effects and policy perspectives*. Sutton, M.A., Howard, C. M., Erisman, J. W., Billen, G., Bleeker, G., Grennfelt, A., Grinsven, H. V., & Grizzetti, B. (2011). Cambridge University Press. Part III, Chapter 10.
- Jaynes, D. B., Colvin, T. S., Karlen, D. L., Cambardella, C. A., & Meek, D. W. (2001). Nitrate loss in subsurface drainage as affected by nitrogen fertilizer rate. *Journal of Environmental Quality*, 30, 1305-1314. <https://doi.org/10.2134/jeq2001.3041305x>

22. Kalavathy, H. M., Regupathib, I., Pillai, M. G., & Miranda, L. R. (2009). Modelling, analysis and optimization of adsorption parameters for H₃PO₄ activated rubber wood sawdust using response surface methodology (RSM). *Colloids and Surfaces B: Biointerfaces*, 70, 35-45. <https://doi.org/10.1016/j.colsurfb.2008.12.007>
23. Karmoker, J. R., Hasan, I., Ahmed, N., Saifuddin, M., & Reza, M. S. (2019). Development and Optimization of Acyclovir Loaded Mucoadhesive Microspheres by Box -Behnken Design. *Dhaka University Journal of Pharmaceutical Sciences*, 18(1), 1-12. <https://doi.org/10.3329/dujps.v18i1.41421>
24. Khodshenas, M. A., Ghadbeiklou, J., & Dadivar, M. (2016). The Effects of Source and Rate of Nitrogen Fertilizer and Irrigation on Nitrogen Uptake of Silage Corn and Residual Soil Nitrate. *Journal of Water and Soil*, 29(6), 1640-1650. (in Persian with English abstract). <https://doi.org/10.22067/jsw.v29i6.35254>
25. Kim, H. J., & Li, X. (2016). Effects of Phosphorus on Shoot and Root Growth, Partitioning, and Phosphorus Utilization Efficiency in Lantana. *Hortscience*, 51(8), 1001-1009. <https://doi.org/10.21273/hortsci.51.8.1001>
26. Koocheki, A., Nassiri Mahallati, M., Moradi, A., & Mansouri, H. (2013). Optimization of water, nitrogen and density in canola cultivation by central composite design. *Journal of Agroecology*, 3(1), 1-16. (in Persian with English abstract).
27. Lawlor, P. A., Helmers, M. J., Baker, J. L., Melvin, S. W., & Lemke, D. W. (2008). Nitrogen application rate effect on nitrate-N concentration and loss in subsurface drainage for a corn-soybean rotation. *Trans. ASABE*, 51, 83-94. <https://doi.org/10.13031/2013.24229>
28. Mansouri, H., Bannayan, M., Rezvani Moghaddam, P., & Lakzian, A. (2014). Management of nitrogen fertilizer, irrigation and plant density in onion production using response surface methodology as optimization approach. *African Journal of Agricultural Research*, 9(7), 676-687. <https://doi.org/10.5897/ajar2013.8428>
29. Marino, M. A., Mazzanti, A., Assuero, S. G., Gastal, F., Echeverria, H. E., & Andrade, F. (2004). Nitrogen dilution curves and nitrogen use efficiency during winter-spring growth of annual ryegrass. *Agronomy Journal*, 96, 601-607. <https://doi.org/10.2134/agronj2004.0601>
30. Mirzashahi, K., & Hossainpour, M. (2014). The effect of nitrogen fertilization management on grain yield and nitrogen efficiency indices in corn. *Agronomy Journal (Pajouhesh & Sazandegi)*, 102, 31-40. (In Persian with English abstract). <https://doi.org/10.22092/aj.2014.100926>
31. Mohiti Asl, A. (2011). Effect of cow manure, biological and chemical fertilizers on some physic-chemical properties of soil and yield of forage corn in Amiran of Damgha. MSc thesis. Shahrood university. 139 p. (in Persian with English abstract).
32. Moraghebi, F., Akbari Famileh, M., & Houshmandfar, A. (2012). The effect of amount and time of Nitrogen use on the percentage of grain protein and efficiency use of Nitrogen of the Pishtaz cultivar wheat in Saveh region. *Plant and Ecosystem*, 7(29), 65. (in Persian with English abstract).
33. Myers, R. H., & Montgomery, D. C. (1995). *Response surface methodology: process and product optimization using designed experiments*. John Willey & Sons, New York, USA.
34. Nelson, D. W., & Somers, L. E. (1973). Determination of total nitrogen in plant material. *Agronomy Journal*, 65, 109-112. <https://doi.org/10.2134/agronj1973.00021962006500010033x>
35. Rathke, G. W., Behrens, T., & Diepenbrock, W. (2006). Integrated nitrogen management strategies to improve seed yield, oil content and nitrogen efficiency of winter oilseed rape (*Brassica napus* L.): A review. *Agriculture, Ecosystems and Environment*, 117, 80-108. <https://doi.org/10.1016/j.agee.2006.04.006>
36. Sadat-Rozati, N. (2008). The evaluation of the effect of consumption management of urea fertilizer on yield and component of yield in three cultivar of maize. MSc thesis. Shahrood University of Technology. (In Persian with English abstract).
37. Torbert, H. A., Potter, K. N., & Morrison, J. E. (2001). Tillage system, fertilizer nitrogen rate and timing effect on corn yields in the Texas Blackland prairie. *Agronomy Journal*, 93, 1119-1124. <https://doi.org/10.2134/agronj2001.9351119x>
38. Weligama, C., Sale, P. W. G., Conyers, M. K., Liu, D. L., & Tang, C. (2010). Nitrate leaching stimulates subsurface root growth of wheat and increase rhizosphere alkalization in a highly acidic soil. *Plant and Soil*, 328, 119-132. <https://doi.org/10.1007/s11104-009-0087-x>
39. Zhou, M., & Butterbach-Bahl, K. (2014). Assessment of nitrate leaching loss on a yield-scaled basis from maize and wheat cropping systems. *Plant Soil*, 374, 977-991. <https://doi.org/10.1007/s11104-013-1876-9>